

УДК 517.977.1/5.(575.2)(04)

**ПРИНЦИП МАКСИМУМА ПОНТРЯГИНА
В ЗАДАЧЕ ОПТИМИЗАЦИИ ПРОЦЕССА ТЕПЛОПРОВОДНОСТИ
ПРИ ВНУТРЕННЕМ УПРАВЛЯЮЩЕМ ВОЗДЕЙСТВИИ**

Л.Г. Лелевкина – канд. физ.-мат. наук, доц.

М.М. Шогин – соискатель

A problem of inductive heating optimization of a steel rod, which length is much more than radius of cross-section is considered. The authors give their recommendations on choice of parameters for minimizing functional and regulating convergence rate of an iterative process.

§1. Постановка задачи оптимизации в цилиндрической области

Рассмотрим процесс теплопроводности, описываемый в цилиндрической системе координат уравнением [1].

$$\frac{\partial u}{\partial t} = a \frac{\partial^2 u}{\partial r^2} + \frac{a}{r} \frac{\partial u}{\partial r} + p(t)q(t) + f(t, r), \quad 0 < t < T, \quad 0 < r < R \quad (1.1)$$

с начальными и граничными условиями

$$u(0, r) = u_0(r) \quad (1.2)$$

$$\frac{\partial u(t, 0)}{\partial r} = 0 \quad \frac{\partial u(t, R)}{\partial r} = [T_R - u(t, R)], \quad (1.3)$$

где $u(t, r)$ – распределение температуры в момент времени $t \in (0, T)$ в точке r , a – коэффициент диффузии, T_R – температура внешней среды, h – коэффициент теплообмена, $p(t) \in H(T, 0)$ – управляющий параметр, характеризующий удельную мощность нагрева, входящий в правую часть уравнения, $u_0(r)$ – распределение температуры в начальный момент времени $t = 0$.

Требуется найти допустимое управление $p^0(t)$ и соответствующее ему решение $U^0(t, r)$ задачи (1.1) – (1.3), такие чтобы функционал

$$I(p) = \gamma_1 \int_0^T \int_0^R [u(t, r) - g(t, r)]^2 r dr dt + \gamma_2 \int_0^R [u(T, r) - \varphi(r)]^2 r dr + \beta \int_0^T p^2(t) dt \quad (1.4)$$

$$\beta = const > 0,$$

принимал наименьшее возможное значение при $p = p^0(t)$, $u = u^0(t, r)$.

§2. Построение оптимального управления

Пусть $\left\{ \bar{u}(t, r), \bar{p}(t) \right\}$ – произвольные функции, удовлетворяющие уравнениям (1.1) – (1.3), но вообще говоря, не являющиеся решением задачи оптимального управления. Очевидно, что функции $\Delta u, \Delta p$ являются решением задачи :

$$\begin{cases} \frac{\partial \Delta u}{\partial t} = a^2 \frac{\partial^2 \Delta u}{\partial r^2} + \frac{a}{r} \frac{\partial \Delta u}{\partial r} + \Delta p(t)q(r), \\ \Delta u(0, r) = 0 \\ \frac{\partial \Delta u(t, 0)}{\partial r} = 0 \quad \frac{\partial \Delta u(t, R)}{\partial r} + hu(t, R) = 0 \end{cases} \quad (2.1)$$

Согласно методике [1], строим вспомогательный функционал вида:

$$I_1 = I + \int_0^T \int_0^R \left\{ u_t - au_{rr} - \frac{a}{r} u_r + p(t)q(r) \right\} \Phi(t, r) r dr dt \quad (2.2)$$

Находя его приращение с учетом условий

$$\Phi_t(t, r) + a\Phi_{rr}(t, r) + \frac{a}{r}\Phi_r(t, r) - 2\gamma_1(u(t, r) - g(t, r)) = 0, \quad (2.3)$$

$$\Phi(T, r) + 2\gamma_2[u(T, r) - \varphi(r)] = 0, \quad (2.4)$$

$$\Phi_r(t, 0) = 0; \quad \Phi_r(t, R) + h\Phi(t, R) = 0, \quad (2.5)$$

будем иметь

$$\begin{aligned} \Delta I_1(p) = & - \int_0^T \int_0^R r \Phi(t, R) \Delta p(t) q(r) dr dt + \gamma_1 \int_0^T \int_0^R r [\Delta u(t, r)]^2 dr dt + \gamma_2 \int_0^R \Delta u^2(T, r) r dr + \\ & + 2\beta \int_0^T p(t) \Delta p(t) dt + \beta \int_0^T [\Delta p(t)]^2 dt \end{aligned} \quad (2.6)$$

Краевая задача (2.3) – (2.5) является краевой задачей, сопряженной к основной задаче.

В соответствии с методом Понтрягина построим функцию:

$$\Pi(t, r, u, p) = \int_0^R r \Phi(t, r) p(t) q(r) dr - \beta^2(t). \quad (2.7)$$

Тогда приращение функционала примет вид:

$$\Delta I_2(p) = - \int_0^T \Delta \Pi(t, r, u, p) dr dt + \gamma_1 \int_0^T \int_0^R r [\Delta u(t, r)]^2 dr dt + \gamma_2 \int_0^R \Delta u^2(T, r) r dr \geq 0, \quad (2.8)$$

из которого следует, что (2.8) выполняется лишь тогда, когда $\Delta \Pi(t, r, u, p) \leq 0$, следовательно, функционал $I_2(p)$ будет достигать своего минимума, тогда и только тогда, когда функция $\Pi(t, r, u, p)$ достигает своего максимума.

Тогда из (2.7) получим следующую структуру оптимального управления:

$$p^0(t) = \frac{1}{2\beta} \int_0^R r \Phi(t, r) q(r) dr$$

§3. Построение итерационного процесса

Итерационный процесс на каждом шаге "k" состоит из последовательного решения при $k = 1, 2, \dots$ следующих задач:

$$\frac{\partial u^{(k)}(t,r)}{\partial t} = a \frac{\partial^2 u^{(k)}(t,r)}{\partial r^2} + \frac{a}{r} \frac{\partial u^{(k)}(t,r)}{\partial r} + p^{(k-1)}(t)q(r) + f(t,r), \quad 0 < t < T, \quad 0 < r < 1 \quad (3.1)$$

$$u^{(k)}(0,r) = u_0(r) \quad 0 < r < 1 \quad (3.2)$$

$$\frac{\partial u^{(k)}(t,0)}{\partial r} = 0, \quad \frac{\partial u^{(k)}(t,R)}{\partial r} = h[T_R - u^{(k)}(t,R)] \quad (3.3)$$

для сопряженной системы

$$\frac{\partial \Phi^{(k)}(t,r)}{\partial t} = -a \frac{\partial^2 \Phi^{(k)}(t,r)}{\partial r^2} - \frac{a}{r} \frac{\partial \Phi^{(k)}(t,r)}{\partial r} + 2\gamma_1[u^{(k)}(t,r) - g(t,r)] = 0 \quad (3.4)$$

$$\Phi^{(k)}(T,r) = 2\gamma_2[\varphi(r) - u^{(k)}(T,r)] \quad 0 < r < 1 \quad (3.5)$$

$$\frac{\partial \Phi^{(k)}(t,0)}{\partial r} = 0, \quad \frac{\partial \Phi^{(k)}(t,R)}{\partial r} + h\Phi^{(k)}(t,R) = 0 \quad (3.6)$$

и для управления
$$p^k(t) = \frac{1}{2\beta} \int_0^R r \Phi^k(t,r) q(r) dr \quad (3.7)$$

§4. Численная реализация принципа максимума Понтрягина

При помощи метода баланса напишем разностную схему А.А.Самарского, аппроксимирующую задачу (1.1) – (1.3). На промежутке $[0, T]$ рассмотрим равномерную сетку с шагом τ и узлами $t_n = \tau n$, $n = 0, 1, \dots, M$. При фиксированном “ n ” проинтегрируем уравнение (1.1) по отрезку $[t_{n-1}, t_n]$ и результат разделим на τ , затем воспользуемся представлением

$$\frac{1}{\tau} \int_{t_{n-1}}^{t_n} u(t,r) dt = \theta u(t_n, r) + (1-\theta)u(t_{n-1}, r) + \tau \left(\theta - \frac{1}{2} \right) \frac{\partial u}{\partial t}(t_{n-1}, r) + \tau^2 R_n, \quad (4.1)$$

Используем (4.1) для аппроксимации интегралов в полученном интегро-дифференциальном соотношении. Введем следующие обозначения:

$$w(r) = \theta u^n(r) + (1-\theta)u^{n-1}(r), \quad (4.2)$$

тогда

$$u(t_n, r) - u(t_{n-1}, r) = \frac{a}{r} \frac{\partial}{\partial r} \left(r \tau \frac{\partial [\theta u(t_n, r) + (1-\theta)u(t_{n-1}, r)]}{\partial r} \right) - \quad (4.3)$$

$$-q(r)[\theta_1 p(t_n, r) + (1-\theta_1)p(t_{n-1}, r)]\tau + \tau[\theta f(t_n, r) + (1-\theta)f(t_{n-1}, r)]$$

преобразовывая (1.1), получим:

$$\frac{a}{r} \frac{\partial}{\partial r} \left(r \frac{\partial w(r)}{\partial r} \right) - \frac{w(r)}{\tau\theta} - q(r)p(t_{n-1}, r) + [\theta f(t_n, r) + (1-\theta)f(t_{n-1}, r)] + \frac{u(t_{n-1}, r)}{\theta\tau} = 0$$

и введем следующие обозначения:

$$\alpha = \frac{1}{\tau\theta}, \quad g(r) = -\frac{u(t_{n-1}, r)}{\tau\theta} - [\theta f(t_n, r) + (1-\theta)f(t_{n-1}, r)] + q(r)p(t_{n-1}, r),$$

после чего на каждом временном слое t_n для определения функции $u(x)$ получаем краевую задачу для обыкновенного дифференциального уравнения с особенностью:

$$\frac{a}{r} (rw')' - \alpha w = g(r), \quad r \in (0, R), \quad (4.4)$$

$$w'(0) = 0, \quad hw(R) + w'(R) = \frac{h}{\tau} T_R. \quad (4.5)$$

Составим уравнение баланса для уравнения (4.4):

$$a[y_{i+1/2} - y_{i-1/2}] - \int_{r_{i-1/2}}^{r_{i+1/2}} \alpha w(t, r) r dr = \int_{r_{i-1/2}}^{r_{i+1/2}} r g(r) dr, \quad (4.6)$$

где $y = r \frac{dw}{dr}$; $r_i = ih$, $i = 0, 1, \dots, N-1$, $r_{i\pm 1/2} = r_i \pm 0.5h$.

В результате аппроксимации получим следующую разностную краевую задачу:

$$\begin{cases} -\left(\frac{4a}{h^2} + \alpha\right)w_0^h + \frac{4a}{h^2}w_1^h = g_0, \\ \frac{a(r_i - 0.5h)}{r_i h^2}w_{i-1}^h - \left[\frac{2a}{h^2} + \alpha\right]w_i^h + \frac{a(r_i + 0.5h)}{r_i h^2}w_{i+1}^h = \varphi_i, \\ -\frac{1}{h}w_{N-1}^h + \left(s + \frac{1}{h}\right)w_N^h = sT_R. \end{cases} \quad (4.7)$$

Краевая задача (4.7) решается методом прогонки.

После чего решение задачи (1.1) – (1.3) в момент времени t_n находится по формуле:

$$u_i^n = \frac{1}{\theta} w_i^h - \left(\frac{1}{\theta} - 1\right) u_{i-1}^n, \quad i = 0, 1, \dots, N-1. \quad (4.8)$$

Аппроксимация сопряженной задачи проводится аналогично.

Управление будем аппроксимировать, используя формулу трапеций.

$$p(t) = \frac{1}{2\beta} \frac{h}{2} \sum_{i=1}^{N-1} \{r_i q(r_i) \Phi^n(t, r_i) + r_{i+1} q(r_{i+1}) \Phi^n(t, r_{i+1})\} \quad (4.9)$$

Численные эксперименты

В качестве модельной рассмотрена задача о трансформации гармоника ряда Фурье под воздействием диффузионного механизма. В задаче полагаем $q(r) = 1$.

$$f(t, r) = \left[\left(a(\pi n)^2 - \frac{\gamma_1}{\gamma_2} \right) \cos(\pi n r) + a(\pi n)^2 \frac{\sin(\pi n r)}{\pi n r} - \frac{\gamma_2}{\alpha} \right] \exp\left(-\frac{\gamma_1}{\gamma_2} t\right)$$

$$u_0(r) = \cos(\pi n r), \quad g(t, r) = \left[1 + \cos(\pi n r) \right] \exp\left(-\frac{\gamma_1}{\gamma_2} t\right), \quad \varphi(r) = g(T, r)$$

считая параметрами величины: $a \quad n \quad \gamma_1 \quad \gamma_2 \quad \beta \quad T \quad h$.

В этом случае в качестве решения (1.1) – (1.3) будет $u(t, r) = \cos(\pi n r) \exp\left(-\frac{\gamma_1}{\gamma_2} t\right)$ решение (2.3)

$$-(2.5), \quad \Phi(t, r) = 2\gamma_2 \exp\left(-\frac{\gamma_1}{\gamma_2} t\right) \quad \text{и решение (2.15)} \quad p(t) = \frac{\gamma_2 R}{\beta} \exp\left(-\frac{\gamma_1}{\gamma_2} t\right)$$

Интерфейс программы для проведения численных экспериментов имеет вид (рис.1).

Проводя численные эксперименты при различных численных значениях параметра a и варьировании количества пространственных и временных узлов сетки, проследим результаты предложенных методов. На рис. 2 показано состояние системы при $a = 0,01$ после 2 итерационного шага: погрешность по распределению температуры равна 45%, погрешность по управлению – 11%.

Как видно из рис 3, при том же значении параметра a на 7 итерации погрешность по распределению температуры равна 19%, погрешность по управлению – 17%, т.е. она значительно уменьшилась по распределению температуры. Из рис.4 видно, что наилучшее приближение как по распреде-

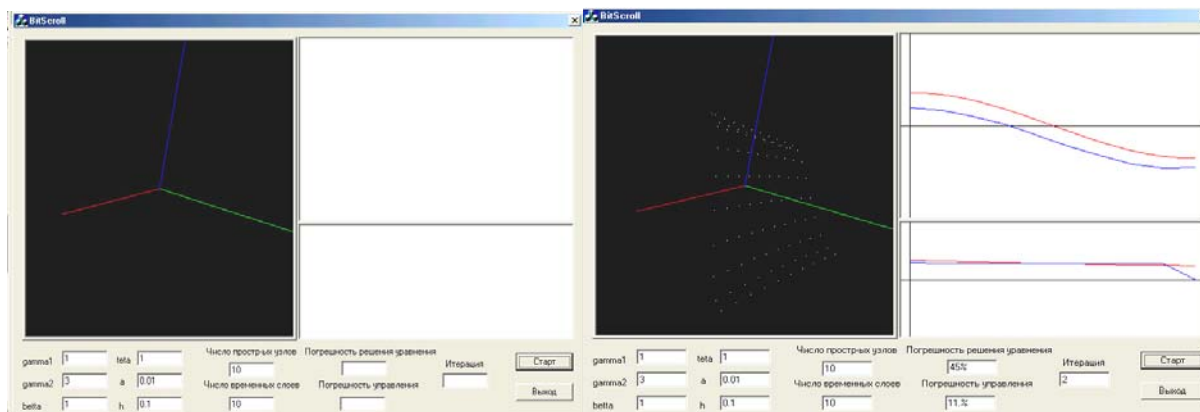


Рис. 1.

Рис. 2.

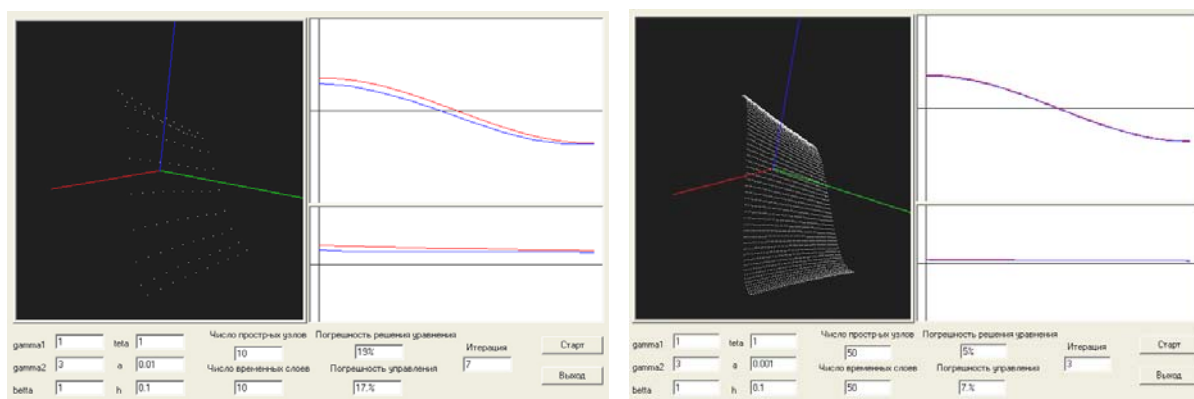


Рис. 3.

Рис. 4.

лению температуры, равное 5%, так и по управлению, равное 7%, достигается при уменьшении параметра a до 0,001 и увеличении количества узлов по пространственной и временной сетке до 50.

На представленных графиках показано, как влияют на скорость сходимости уменьшение численного значения параметра a и увеличение числа пространственных и временных узлов. Так, при числе пространственных и временных узлов, равном 50, и при уменьшении значения параметра a до 0,001 достаточно хорошее приближение как по функции распределения температуры, так и по управляющему параметру (из рис. 4, получается на 3 итерации), что подтверждает высокую скорость сходимости. Таким образом, численные эксперименты показали, что дальнейшее уменьшение значений параметра a является нецелесообразным.

Литература

1. Егоров А.И. Оптимальное управление тепловыми и диффузионными процессами. – М.: Наука, 1978. – 464 с.
2. Лелевкина Л.Г., Асаналиева Н.Т. Оптимизация процесса распространения тепла при управляющем воздействии в уравнении параболического типа // Вестн. Кырг.-Росс. Славян. ун-та. – 2003. – Т. 3. – № 2. – С. 41.